

# Дихотомия спектра единичной окружностью

Бибердорф Э.А.

# Критерий разрешимости краевой задачи

Задачу

$$\begin{aligned} U_{k+1} &= AU_k + f_k, & \|f_k\| &\leq C \leq \infty, \\ \|U_k\| &\leq C \leq \infty, & -\infty < k < \infty. \end{aligned}$$

можно представить как

$$\mathcal{L}U = f,$$

где  $U$  и  $f$  принадлежат пространству ограниченных дискретных вектор-функций. Норма в таком пространстве определяется следующим образом

$$\|U\| = \max_k \|U_k\|, \quad \|f\| = \max_k \|f_k\|,$$

а  $\mathcal{L}$  - линейный оператор, действующий в этом пространстве. Тогда равенство

$$U_k = \sum_{j=-\infty}^{+\infty} G_{k,j} f_j.$$

представляет собой действие обратного оператора

$$U = \mathcal{L}^{-1}f.$$

# Численный критерий разрешимости задачи

$$U = \mathcal{L}^{-1}f.$$

Это интегральный оператор, действующий в дискретном пространстве. Функция Грина - это ядро данного интегрального оператора. Так как

$$\|U\| = \max_k \|U_k\| = \max_k \left\| \sum_j G_{k-j} f_j \right\| \leq \max_k \|f_k\| \sum_j \|G_j\| = \|f\| \sum_j \|G_j\|.$$

Величину  $\sum_j \|G_j\|$  можно использовать в качестве нормы оператора  $\mathcal{L}^{-1}$  и в качестве критерия разрешимости краевой задачи:

Если  $\sum_j \|G_j\| < \infty$ , то решение существует и единственно.

Заметим, что аналогичным свойством обладает величина

$$\|H\| = \left\| \sum_j G_j^* G_j \right\| \leq \sum_j \|G_j\|^2.$$

Таким образом  $\|H\|$  является критерием разрешимости краевой задачи или, что то же самое, отсутствия собственных значений матрицы  $A$  на единичной окружности.

# Обобщения

Функция Грина краевой задачи для краевой задачи на бесконечной прямой для матричного разностного уравнения

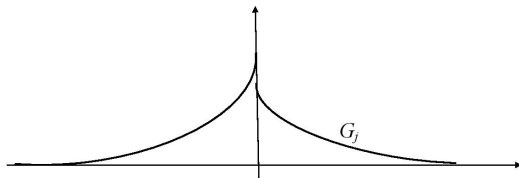
$$AU_j - BU_{j+1} = 0, \quad \|U_j\| \rightarrow 0 \quad \text{for } j \rightarrow \pm\infty$$

определяется следующим образом:

Определение. Матричную последовательность  $G_k$ , удовлетворяющую уравнениям

$$\begin{cases} AG_j - BG_{j+1} = 0, & (-\infty < j \leq -1, +0 \leq j < +\infty) \\ G_{+0} - G_{-0} = I, \\ \|G_j\| \rightarrow 0 & \text{при } j \rightarrow \infty, \end{cases}$$

назовем матричной функцией Грина.



# Обобщения

$$\begin{cases} AG_j - BG_{j+1} = 0, & (-\infty < j \leq -1, +0 \leq j < +\infty) \\ G_{+0} - G_{-0} = I, \\ \|G_j\| \rightarrow 0 & \text{при } j \rightarrow \infty, \end{cases}$$

## Theorem

Если матричный пучок  $A - \lambda B$  регулярен на единичной окружности, то матричная функция Грина существует и единственна.

Доказательство

$$G_j = \begin{cases} S \begin{pmatrix} \Lambda^{|j|} & 0 \\ 0 & 0 \end{pmatrix} S^{-1}, & j \geq +0; \\ S \begin{pmatrix} 0 & 0 \\ 0 & -M^{|j|} \end{pmatrix} S^{-1}, & j \leq -0. \end{cases}$$

Замечание.  $G_{+0} = P$ ,  $G_{-0} = -(I - P)$ .



# Функция Грина и критерий дихотомии

## Theorem

Верно равенство

$$\begin{aligned} H &= \frac{1}{2\pi} \int_0^{2\pi} (A - e^{i\varphi} B)^{-*} (A^* C A + B^* C B) (A - e^{i\varphi} B)^{-1} d\varphi = \\ &= G_{+0}^* C G_{+0} + G_{-0}^* C G_{-0} + 2 \sum_{|j|=1}^{\infty} G_j^* C G_j. \end{aligned}$$

## Theorem

Для функции Грина имеет место оценка

$$\|G_{\pm j}\| \leq \sqrt{\|C^{-1}\| \|H\|} \kappa^j, \text{ где } \kappa = \sqrt{\frac{\|C^{-1}\| \|H\| - 1}{\|C^{-1}\| \|H\| + 1}}.$$

# Функция Грина и критерий дихотомии

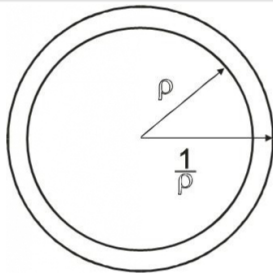
## Theorem

Для функции Грина имеет место оценка

$$\|G_{\pm j}\| \leq \sqrt{\|C^{-1}\| \|H\|} \kappa^j, \text{ где } \kappa = \sqrt{\frac{\|C^{-1}\| \|H\| - 1}{\|C^{-1}\| \|H\| + 1}}.$$

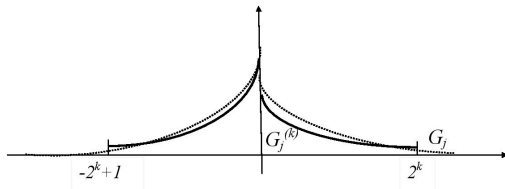
Следствие. Если  $\|H\|$  – конечна, то от точек спектра пучка  $A - \lambda B$  свободно кольцо с внутренним радиусом  $\rho$  и внешним радиусом  $1/\rho$ , где

$$\rho = \kappa = \sqrt{\frac{\|C^{-1}\| \|H\| - 1}{\|C^{-1}\| \|H\| + 1}},$$



# Приближенная функция Грина, приближенная матрица N

$$\left\{ \begin{array}{l} AG_j^{(k)} - BG_{j+1}^{(k)} = 0, \\ -2^k \leq j \leq -0, \\ +0 \leq j \leq 2^k - 1, \\ G_{+0}^{(k)} - G_{-0}^{(k)} = I, \\ AG_{2^k}^{(k)} - BG_{-2^k+1}^{(k)} = 0, \end{array} \right.$$



Матричные функции  $G_j$  and  $G_j^{(k)}$  близки причем разница между ними оценивается через величину бесконечных "хвостов" функции Грина  $G_j$  "обрезанных" при переходе к конечномерной системе

## Theorem

$$\|G_j - G_j^{(k)}\| \leq \max_{-2^k+1 \leq j \leq 2^k} \sum_{i=1}^{\infty} \|G_{\pm((2^{k+1}+1)i+|j|)}\|.$$



# Приближенная функция Грина, приближенная матрица $H$

Следствие

$$\max_{-J+1 \leq j \leq J} \|G_j - G_j^{(k)}\| \leq 2\sqrt{\|C^{-1}\| \|H\|} \frac{\kappa^{J+1}}{1 - \kappa^{2J+1}}, \quad J = 2^k.$$

Приближенная матрица  $H$ :

$$H^{(k+1)} = G_{+0}^{(k)} C G_{+0}^{(k)*} + G_{-0}^{(k)} C G_{-0}^{(k)*} + 2 \left[ \sum_{j=-2^k+1}^{-1} + \sum_{j=1}^{2^k} \right] G_j^{(k)} C G_j^{(k)*}$$

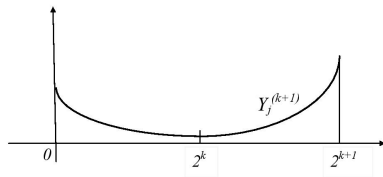
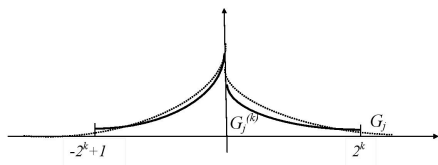
Theorem

$$\|H - H^{(k+1)}\| \leq 2\mu(C) \|H\| \kappa^{2J} (7\|C\| \|H\| + 16J + 2), \quad \text{где } J = 2^k$$

# Перенумерация

$$\begin{aligned} Y_j^{(k+1)} &= G_j^{(k)}, & +0 \leq j \leq 2^k; \\ Y_{2^k+j}^{(k+1)} &= G_{-2^k+j}^{(k)}, & 1 \leq j \leq 2^k. \end{aligned}$$

$$\begin{cases} AG_j^{(k)} - BG_{j+1}^{(k)} = 0, \\ G_{+0}^{(k)} - G_{-0}^{(k)} = I, \\ AG_{2^k}^{(k)} - BG_{-2^k+1}^{(k)} = 0, \end{cases} \quad \begin{cases} AY_j^{(k+1)} - BY_{j+1}^{(k+1)} = 0, & 0 \leq j < 2^{k+1}, \\ Y_0^{(k+1)} - Y_{2^{k+1}}^{(k+1)} = I. \end{cases}$$



# Приближенная функция Грина, приближенная матрица $H$

Тогда

$$\begin{aligned} H^{(k+1)} &= G_{+0}^{(k)} C G_{+0}^{(k)*} + G_{-0}^{(k)} C G_{-0}^{(k)*} + 2 \left[ \sum_{j=-2^k+1}^{-1} + \sum_{j=1}^{2^k} \right] G_j^{(k)} C G_j^{(k)*} \\ &= Y_0^{(k+1)} C Y_0^{(k+1)*} + Y_{2^{k+1}}^{(k+1)} C Y_{2^{k+1}}^{(k+1)*} + 2 \sum_{j=1}^{2^{k+1}-1} Y_j^{(k+1)} C Y_j^{(k+1)*}. \end{aligned}$$

## Простой случай (1)

$$\begin{cases} AG_{+0}^{(0)} - BG_1^{(0)} = 0, \\ G_{+0}^{(0)} - G_{-0}^{(0)} = I, \\ AG_1^{(0)} - BG_{-0}^{(0)} = 0, \end{cases} \Leftrightarrow \begin{cases} AY_j^{(1)} - BY_{j+1}^{(1)} = 0, \quad j = 0, 1, \\ Y_0^{(1)} - Y_2^{(1)} = I. \end{cases}$$

Следовательно грубое приближение матрицы  $H$  есть

$$\begin{aligned} H^{(1)} &= G_{+0}^{(0)}CG_{+0}^{(0)*} + G_{-0}^{(0)}CG_{-0}^{(0)*} + 2G_1^{(0)}CG_1^{(0)*} = \\ &= Y_0^{(1)}CY_0^{(1)*} + 2Y_1^{(1)}CY_1^{(1)*} + Y_2^{(1)}CY_2^{(1)*} \end{aligned}$$

## Самый простой случай (0)

$$\begin{cases} AY_0^{(0)} - BY_1^{(0)} = 0, \\ Y_0^{(0)} - Y_1^{(0)} = I. \end{cases}$$

Отсюда

$$Y_0^{(0)} = -(A - B)^{-1}A, \quad Y_1^{(0)} = -(A - B)^{-1}B$$

Самое грубое приближение матрицы  $H$  есть

$$\begin{aligned} H^{(0)} &= Y_0^{(0)}CY_0^{(0)*} + Y_1^{(0)}CY_1^{(0)*} = \\ &= (A - B)^{-1}(ACA^* + BCB^*)(A - B)^{-*} \end{aligned}$$

## Связь случаев (1) и (0)

Обозначим

$$U^{(1)} = Y_0^{(1)} - Y_1^{(1)}, \quad V^{(1)} = Y_1^{(1)} - Y_2^{(1)}$$

Заметим, что

$$\begin{cases} AY_0^{(1)} - BY_1^{(1)} = 0, \\ AY_1^{(1)} - BY_2^{(1)} = 0, \\ Y_0^{(1)} - Y_2^{(1)} = I. \end{cases} \Rightarrow \begin{cases} A(Y_0^{(1)} - Y_1^{(1)}) - B(Y_1^{(1)} - Y_2^{(1)}) = 0, \\ Y_0^{(1)} - Y_1^{(1)} - Y_2^{(1)} = I. \end{cases}$$

Следовательно,

$$\begin{cases} AU^{(1)} - BV^{(1)} = 0, \\ U^{(1)} + V^{(1)} = I. \end{cases} \Rightarrow \begin{cases} U^{(1)} = (A + B)^{-1}B, \\ V^{(1)} = (A + B)^{-1}A. \end{cases}$$

## Связь случаев (1) и (0)

Разобьем систему для  $Y_j^{(1)}$  на две половинки:

$$\left\{ \begin{array}{l} AY_0^{(1)} - BY_1^{(1)} = 0, \\ AY_1^{(1)} - BY_2^{(1)} = 0, \\ Y_0^{(1)} - Y_2^{(1)} = I. \end{array} \right. \Rightarrow \left\{ \begin{array}{l} AY_0^{(1)} - BY_1^{(1)} = 0, \\ Y_0^{(1)} - Y_1^{(1)} = U^{(1)} \\ AY_1^{(1)} - BY_2^{(1)} = 0, \\ Y_1^{(1)} - Y_2^{(1)} = V^{(1)} \end{array} \right.$$

Сравним каждую из половинок с системой для  $Y_j^{(0)}$

$$\left\{ \begin{array}{l} AY_0^{(0)} - BY_1^{(0)} = 0, \\ Y_0^{(0)} - Y_1^{(0)} = I \end{array} \right.$$

Отличие только в правых частях, значит

$$Y_0^{(1)} = Y_0^{(0)}U^{(1)}, \quad Y_2^{(1)} = Y_2^{(0)}V^{(1)},$$

$$Y_1^{(1)} = Y_1^{(0)}U^{(1)} = Y_0^{(0)}V^{(1)},$$

## Связь случаев (1) и (0)

Упражнение. Проверить, что следующие матрицы перестановочны

$$Y_0^{(0)} = -(A - B)^{-1}A, \quad Y_1^{(0)} = -(A - B)^{-1}B,$$

$$U^{(1)} = (A + B)^{-1}B, \quad V^{(1)} = (A + B)^{-1}A.$$

Тогда

$$Y_0^{(1)} = U^{(1)}Y_0^{(0)}, \quad Y_2^{(1)} = V^{(1)}Y_2^{(0)},$$

$$Y_1^{(1)} = U^{(1)}Y_1^{(0)} = V^{(1)}Y_0^{(0)}$$



## Связь случаев (1) и (0)

$$H^{(1)} = Y_0^{(1)} C Y_0^{(1)*} + 2Y_1^{(1)} C Y_1^{(1)*} + Y_2^{(1)} C Y_2^{(1)*} =$$

## Связь случаев (1) и (0)

$$\begin{aligned} H^{(1)} &= Y_0^{(1)} C Y_0^{(1)*} + 2Y_1^{(1)} C Y_1^{(1)*} + Y_2^{(1)} C Y_2^{(1)*} = \\ &= \underline{Y_0^{(1)} C Y_0^{(1)*} + Y_1^{(1)} C Y_1^{(1)*}} + \underline{Y_1^{(1)} C Y_1^{(1)*} + Y_2^{(1)} C Y_2^{(1)*}} = \end{aligned}$$

## Связь случаев (1) и (0)

$$\begin{aligned} H^{(1)} &= Y_0^{(1)} C Y_0^{(1)*} + 2 Y_1^{(1)} C Y_1^{(1)*} + Y_2^{(1)} C Y_2^{(1)*} = \\ &= \underline{Y_0^{(1)} C Y_0^{(1)*} + Y_1^{(1)} C Y_1^{(1)*}} + \underline{Y_1^{(1)} C Y_1^{(1)*} + Y_2^{(1)} C Y_2^{(1)*}} = \\ &= U^{(1)} Y_0^{(0)} C Y_0^{(0)*} U^{(1)*} + U^{(1)} Y_1^{(0)} C Y_1^{(0)*} U^{(1)*} + \\ &+ V^{(1)} Y_1^{(0)} C Y_1^{(0)*} V^{(1)*} + V^{(1)} Y_1^{(0)} C Y_1^{(0)*} V^{(1)*} = \end{aligned}$$

## Связь случаев (1) и (0)

$$\begin{aligned} H^{(1)} &= Y_0^{(1)} C Y_0^{(1)*} + 2 Y_1^{(1)} C Y_1^{(1)*} + Y_2^{(1)} C Y_2^{(1)*} = \\ &= \underline{Y_0^{(1)} C Y_0^{(1)*} + Y_1^{(1)} C Y_1^{(1)*}} + \underline{Y_1^{(1)} C Y_1^{(1)*} + Y_2^{(1)} C Y_2^{(1)*}} = \\ &= U^{(1)} Y_0^{(0)} C Y_0^{(0)*} U^{(1)*} + U^{(1)} Y_1^{(0)} C Y_1^{(0)*} U^{(1)*} + \\ &\quad + V^{(1)} Y_1^{(0)} C Y_1^{(0)*} V^{(1)*} + V^{(1)} Y_1^{(0)} C Y_1^{(0)*} V^{(1)*} = \\ &= U^{(1)} \left( Y_0^{(0)} C Y_0^{(0)*} + Y_1^{(0)} C Y_1^{(0)*} \right) U^{(1)*} + V^{(1)} \left( Y_1^{(0)} C Y_1^{(0)*} + Y_1^{(0)} C Y_1^{(0)*} \right) V^{(1)*} = \end{aligned}$$

## Связь случаев (1) и (0)

$$\begin{aligned} H^{(1)} &= Y_0^{(1)} C Y_0^{(1)*} + 2 Y_1^{(1)} C Y_1^{(1)*} + Y_2^{(1)} C Y_2^{(1)*} = \\ &= \underline{Y_0^{(1)} C Y_0^{(1)*} + Y_1^{(1)} C Y_1^{(1)*}} + \underline{Y_1^{(1)} C Y_1^{(1)*} + Y_2^{(1)} C Y_2^{(1)*}} = \\ &= U^{(1)} Y_0^{(0)} C Y_0^{(0)*} U^{(1)*} + U^{(1)} Y_1^{(0)} C Y_1^{(0)*} U^{(1)*} + \\ &\quad + V^{(1)} Y_1^{(0)} C Y_1^{(0)*} V^{(1)*} + V^{(1)} Y_1^{(0)} C Y_1^{(0)*} V^{(1)*} = \\ &= U^{(1)} \left( Y_0^{(0)} C Y_0^{(0)*} + Y_1^{(0)} C Y_1^{(0)*} \right) U^{(1)*} + V^{(1)} \left( Y_1^{(0)} C Y_1^{(0)*} + Y_1^{(0)} C Y_1^{(0)*} \right) V^{(1)*} = \\ &= U^{(1)} H^{(0)} U^{(1)*} + V^{(1)} H^{(0)} V^{(1)*} \end{aligned}$$

## Связь случаев (1) и (0)

Рассмотрим уравнения

$$\begin{cases} AY_0^{(1)} - BY_1^{(1)} = 0, \\ AY_1^{(1)} - BY_2^{(1)} = 0, \end{cases} \Rightarrow \begin{bmatrix} A & -B & 0 \\ 0 & A & -B \end{bmatrix} \begin{bmatrix} Y_0^{(1)} \\ Y_1^{(1)} \\ Y_2^{(1)} \end{bmatrix} = \begin{bmatrix} 0 \\ 0 \end{bmatrix}.$$

Перестановка:

$$\begin{bmatrix} -B & A & 0 \\ A & 0 & -B \end{bmatrix} \begin{bmatrix} Y_1^{(1)} \\ Y_0^{(1)} \\ Y_2^{(1)} \end{bmatrix} = \begin{bmatrix} 0 \\ 0 \end{bmatrix} \xrightarrow{\text{qr}} Q \begin{bmatrix} * & * & * \\ 0 & A_1 & -B_1 \end{bmatrix} \begin{bmatrix} Y_1^{(1)} \\ Y_0^{(1)} \\ Y_2^{(1)} \end{bmatrix} = \begin{bmatrix} 0 \\ 0 \end{bmatrix}$$

Значит

$$\begin{cases} AY_0^{(1)} - BY_1^{(1)} = 0, \\ AY_1^{(1)} - BY_2^{(1)} = 0, \\ Y_0^{(1)} - Y_2^{(1)} = I, \end{cases} \Rightarrow \begin{cases} A_1 Y_0^{(1)} - B_1 Y_2^{(1)} = 0, \\ Y_0^{(1)} - Y_2^{(1)} = I, \end{cases}$$

$$Y_0^{(1)} = -(A_1 - B_1)^{-1} A_1, \quad Y_2^{(1)} = -(A_1 - B_1)^{-1} B_1$$

# Рекуррентные соотношения

Обозначим  $U^{(k+1)} = Y_0^{(k+1)} - Y_{2^k}^{(k+1)}$ ,  $V^{(k+1)} = Y_{2^k}^{(k+1)} - Y_{2^{k+1}}^{(k+1)}$

Разобьем систему для  $Y_j^{(k+1)}$  на две половинки:

$$\left\{ \begin{array}{l} AY_j^{(k+1)} - BY_{j+1}^{(k+1)} = 0, \\ (0 \leq j \leq 2^{j+1} - 1) \\ Y_0^{(k+1)} - Y_{2^{k+1}}^{(k+1)} = I. \end{array} \right. \Rightarrow \left\{ \begin{array}{l} AY_j^{(k+1)} - BY_{j+1}^{(k+1)} = 0, \\ (0 \leq j \leq 2^k - 1) \\ Y_0^{(k+1)} - Y_{2^k}^{(k+1)} = U^{k+1}. \end{array} \right.$$
$$\left\{ \begin{array}{l} AY_j^{(k+1)} - BY_{j+1}^{(k+1)} = 0, \\ (2^k \leq j \leq 2^{k+1} - 1) \\ Y_{2^k}^{(k+1)} - Y_{2^{k+1}}^{(k+1)} = V^{k+1}. \end{array} \right.$$

Сравним каждую из половинок с системой для  $Y_j^{(k)}$  (отличие в правых частях)

$$\left\{ \begin{array}{l} AY_j^{(k)} - BY_{j+1}^{(k)} = 0, \\ (0 \leq j \leq 2^k - 1) \\ Y_0^{(k)} - Y_{2^k}^{(k)} = I \end{array} \right. \Rightarrow \begin{array}{l} Y_j^{(k+1)} = Y_j^{(k)} U^{(k+1)} = U^{(k+1)} Y_j^{(k)}, \\ Y_{2^k+j}^{(k+1)} = Y_j^{(k)} V^{(k+1)} = V^{(k+1)} Y_j^{(k)}, \\ 0 \leq j \leq 2^k - 1 \end{array}$$

# Рекуррентные соотношения

$$\begin{aligned} H^{(k+1)} &= Y_0^{(k+1)} C Y_0^{(k+1)*} + 2 \sum_{j=1}^{2^{k+1}-1} Y_j^{(k+1)} C Y_j^{(k+1)*} + Y_{2^{k+1}}^{(k+1)} C Y_{2^{k+1}}^{(k+1)*} = \\ &= Y_0^{(k+1)} C Y_0^{(k+1)*} + 2 \sum_{j=1}^{2^k-1} Y_j^{(k+1)} C Y_j^{(k+1)*} + Y_{2^k}^{(k+1)} C Y_{2^k}^{(k+1)*} + \\ &+ Y_{2^k}^{(k+1)} C Y_{2^k}^{(k+1)*} + 2 \sum_{j=2^k}^{2^{k+1}-1} Y_j^{(k+1)} C Y_j^{(k+1)*} + Y_{2^{k+1}}^{(k+1)} C Y_{2^{k+1}}^{(k+1)*} = \\ &= U^{(k+1)} \left( Y_0^{(k)} C Y_0^{(k)*} + 2 \sum_{j=1}^{2^k-1} Y_j^{(k)} C Y_j^{(k)*} + Y_{2^k}^{(k)} C Y_{2^k}^{(k)*} \right) U^{(k+1)*} + \\ &+ V^{(k+1)} \left( Y_0^{(k)} C Y_0^{(k)*} + 2 \sum_{j=1}^{2^k-1} Y_j^{(k)} C Y_j^{(k)*} + Y_{2^k}^{(k)} C Y_{2^k}^{(k)*} \right) V^{(k+1)*} = \\ &= U^{(k+1)} H^{(k)} U^{(k+1)*} + V^{(k+1)} H^{(k)} V^{(k+1)*} \end{aligned}$$



# Метод удвоений (ортогональных исключений)

Положим  $A_0 = A$ ,  $B_0 = B$ . Запишем два последовательных уравнения

$$\begin{aligned} A_0 Y_j^{(k+1)} - B_0 Y_{j+1}^{(k+1)} &= 0, & \text{ИСКЛ.} & Y_{j+1}^{(k+1)} \\ A_0 Y_{j+1}^{(k+1)} - B_0 Y_{j+2}^{(k+1)} &= 0 & \Rightarrow & A_1 Y_j^{(k+1)} - B_1 Y_{j+2}^{(k+1)} = 0, \end{aligned}$$

где

$$\begin{bmatrix} -B_0 & A_0 & 0 \\ A_0 & 0 & -B_0 \end{bmatrix} = Q \begin{bmatrix} * & * & * \\ 0 & A_1 & -B_1 \end{bmatrix}$$

---

$$\begin{aligned} A_1 Y_j^{(k+1)} - B_1 Y_{j+2}^{(k+1)} &= 0, & \text{ИСКЛ.} & Y_{j+2}^{(k+1)} \\ A_1 Y_{j+2}^{(k+1)} - B_1 Y_{j+4}^{(k+1)} &= 0 & \Rightarrow & A_2 Y_j^{(k+1)} - B_2 Y_{j+4}^{(k+1)} = 0, \end{aligned}$$

где

$$\begin{bmatrix} -B_1 & A_1 & 0 \\ A_1 & 0 & -B_1 \end{bmatrix} = Q \begin{bmatrix} * & * & * \\ 0 & A_2 & -B_2 \end{bmatrix}$$

# Метод удвоений (ортогональных исключений)

Таким путем получаются системы:

$$\begin{cases} A_{k+1} Y_0^{(k+1)} - B_{k+1} Y_{2^{k+1}}^{(k+1)} = 0, \\ Y_0^{(k+1)} - Y_{2^{k+1}}^{(k+1)} = I, \end{cases} \quad \begin{cases} A_k U^{(k+1)} - B_k V^{(k+1)} = 0, \\ U^{(k+1)} + V^{(k+1)} = I. \end{cases}$$

Отсюда

$$\begin{aligned} Y_0^{(k+1)} &= -(A_{k+1} - B_{k+1})^{-1} A_{k+1} = P^{(k+1)}, \\ Y_{2^{k+1}}^{(k+1)} &= -(A_{k+1} - B_{k+1})^{-1} B_{k+1} = P^{(k+1)} - I, \\ U^{(k+1)} &= (A_k + B_k)^{-1} B_k, \\ V^{(k+1)} &= (A_k + B_k)^{-1} A_k. \end{aligned}$$

# Алгоритм дихотомии спектра матричного пучка единичной окружностью

Задано:

матричный пучок  $A_0 - \lambda B_0$ ;

$\varepsilon_{it}$  — требуемая точность итерационного процесса;

$\omega_{\max}, \mu_{\max}$  — большие положительные числа,  $C = C^* > 0$ .

Шаг 1

Если  $\mu(A_0 - B_0) > \mu_{\max}$ , то “Дихотомия невозможна”, конец расчетов.

$$H^{(0)} = (A_0 - B_0)^{-1}(A_0 C A_0^* + B_0 C B_0^*)(A_0 - B_0)^{-*}$$

Цикл пока  $\|H^{(k)} - H^{(k-1)}\| > \varepsilon_{it}$

Если  $\|H^{(k)}\| \geq \omega_{\max}$  или  $\mu(A_k + B_k) > \mu_{\max}$ , то “Дихотомия невозможна”, конец расчетов.

$$\begin{aligned} V^{(k+1)} &= (A_k + B_k)^{-1} A_k, \quad U^{(k+1)} = I - V^{(k+1)} \\ H^{(k+1)} &= U^{(k+1)} H^{(k)} U^{(k+1)*} + V^{(k+1)} H^{(k)} V^{(k+1)*} \\ \text{qr} \left( \begin{bmatrix} -B_k & A_k & 0 \\ A_k & 0 & -B_k \end{bmatrix} \right) &= \begin{bmatrix} * & * & * \\ 0 & A_{k+1} & -B_{k+1} \end{bmatrix} \end{aligned}$$

Конец цикла

# Одномерные спектральные портреты

Пусть  $\gamma(a)$  – однопараметрическое семейство кривых.  
График функции  $\omega(a) = \|H_{\gamma(a)}(A)\|$  называется одномерным спектральным портретом.

Если  $\gamma(r)$  – семейство окружностей с центром в начале координат и радиусом  $r$ , тогда  $\omega(r) = \|H_{\gamma(r)}(A)\|$  – радиальный спектральный портрет

Те значения параметра, при которых  $\|H\|$  велика и график "уходит на бесконечность" могут образовывать целые интервалы, которые называются одномерными спектральными пятнами. Именно внутри этих пятен находятся такие  $r$ , что  $|\lambda(A)| = r$ . Таким образом при помощи радиального портрета выделяются кольца, внутри которых располагается спектр матрицы.

Для визуального анализа удобно изображение графика  $\log_{10} \omega(r)$ .

# Анализ одномерного матричного портрета и приведение матрицы к каноническому виду

Вне спектральных пятен на каждом связном интервале  $\omega(r)$  – выпуклая вниз функция. Для всех значений параметра  $r$ , принадлежащих одному такому фиксированному интервалу инвариантное подпространство, отвечающее собственным значениям матрицы  $A$ , лежащим внутри круга  $|\lambda| = r$ , одно и то же. Следовательно проектор  $P = P(r)$  на это инвариантное подпространство не зависит от выбора параметра  $r$  из данного интервала.

Если выбрать параметры  $r_1$  и  $r_2$  из двух соседних интервалов, где  $\|H_r\|$  конечна, то разность  $P(r_2) - P(r_1)$  является проектором на инвариантное подпространство матрицы  $A$ , соответствующее собственным значениям из спектрального пятна, разделяющего эти интервалы. Таким образом вычисляются проекторы  $P_1, \dots, P_k$  для каждого спектрального пятна. Производится их сингулярное разложение

$$P_i = [U_i : W_i] \begin{bmatrix} \Sigma_i & 0 \\ 0 & 0 \end{bmatrix} V_i.$$

# Анализ одномерного матричного портрета и приведение матрицы к каноническому виду

$$P_i = [U_i : W_i] \begin{bmatrix} \Sigma_i & 0 \\ 0 & 0 \end{bmatrix} V_i.$$

Выделяются базисы инвариантных подпространств  $U_1, \dots, U_k$ , а затем исходная матрица  $A$  приводится к клеточно-диагональному виду:

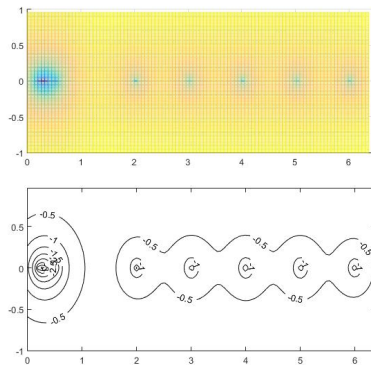
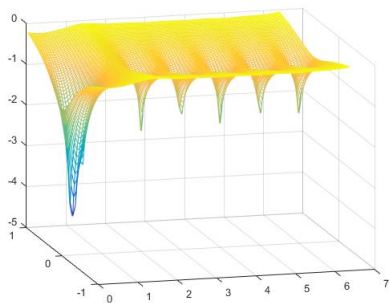
$$A = [U_1 : U_2 : \dots : U_k] \begin{bmatrix} A_1 & 0 & 0 & 0 \\ 0 & A_2 & 0 & 0 \\ 0 & 0 & \ddots & 0 \\ 0 & 0 & 0 & A_k \end{bmatrix} [U_1 : U_2 : \dots : U_k]^{-1}.$$

Здесь число диагональных клеток  $A_i$  равно числу спектральных пятен, выделенных при помощи одномерного спектрального портрета, а их размеры равны числу собственных значений в соответствующем спектральном пятне.

# Пример

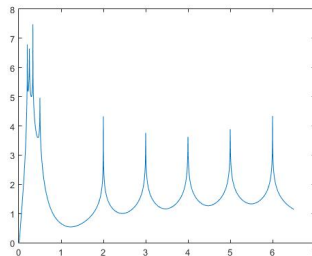
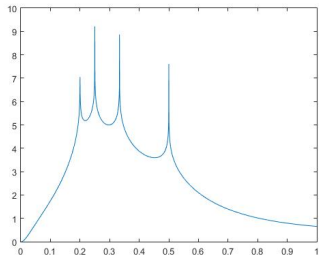
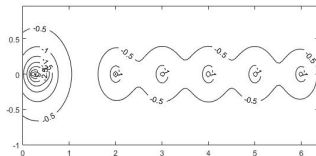
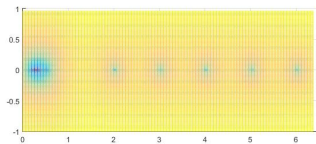
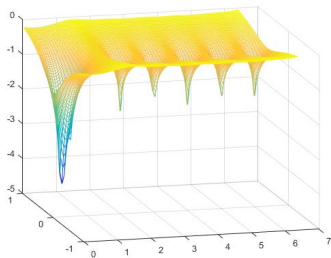
$$A = \begin{pmatrix} 6 & 1/2 & 0 & 0 & 0 & 0 & 0 & 0 & 0 \\ 0 & 5 & 1/2 & 0 & 0 & 0 & 0 & 0 & 0 \\ 0 & 0 & 4 & 1/2 & 0 & 0 & 0 & 0 & 0 \\ 0 & 0 & 0 & 3 & 1/2 & 0 & 0 & 0 & 0 \\ 0 & 0 & 0 & 0 & 2 & 0 & 0 & 0 & 0 \\ 0 & 0 & 0 & 0 & 0 & 1/2 & 1/2 & 0 & 0 \\ 0 & 0 & 0 & 0 & 0 & 0 & 1/3 & 1/2 & 0 \\ 0 & 0 & 0 & 0 & 0 & 0 & 0 & 1/4 & 1/2 \\ 0 & 0 & 0 & 0 & 0 & 0 & 0 & 0 & 1/5 \end{pmatrix}$$

# Пример. Спектральный портрет матрицы $A$

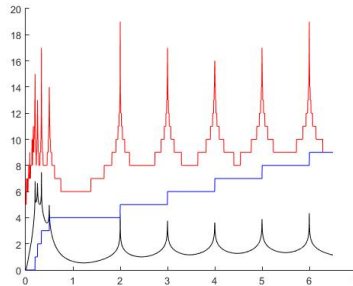
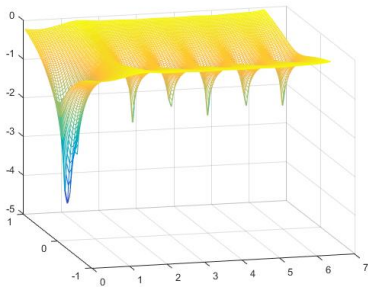
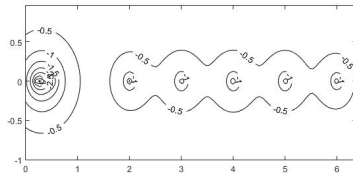
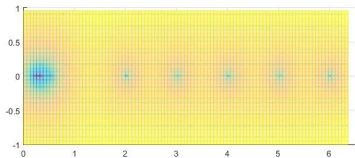




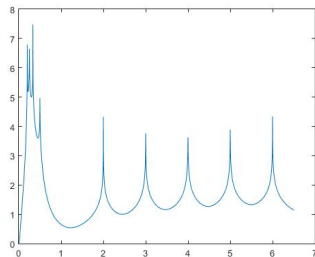
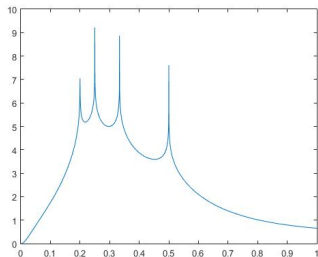
# Пример. Спектральный портрет матрицы $A$



### Пример. Спектральный портрет матрицы $A$



## Пример.



Вычисляем проекторы в точках  $r = 0.3, 0.4, 1, 2.5, 3.5, 4.5, 5.5$ :

$$P(0.3), P(0.4), P(1), P(2.5), P(3.5), P(4.5), P(5.5).$$

Определяем проекторы на инвариантные подпространства,  
соответствующие спектральным пятнам

$$P_1 = P(0.3), P_2 = P(0.4) - P(0.3), P_3 = P(1) - P(0.4), P_4 = P(2.5) - P(1),$$

$$P_5 = P(3.5) - P(2.5), P_6 = P(4.5) - P(3.5), P_7 = P(5.5) - P(4.5), P_8 = I - P(5.5)$$

# Пример. Проектор

Рассмотрим  $P_1 = P(0.3)$ .

След  $\text{tr}P_1 = 1.999999999998068$

Сингулярное разложение  $P_1 = U\Sigma V^*$

Сингулярные числа:  $65.58, 1.57, 0.24 \cdot 10^{-13}, 0, 0, \dots, 0$ .

$$U = \begin{pmatrix} -0.0001 & 0.0001 & -0.0001 & 0.3955 & 0.1267 & 0.8970 & -0.1498 & 0.0240 & -0.0036 \\ 0.0007 & -0.0006 & 0.0007 & -0.1283 & 0.9755 & -0.1053 & -0.1401 & 0.0239 & -0.0270 \\ -0.0066 & 0.0050 & -0.0056 & 0.0139 & -0.0125 & 0.0023 & -0.0186 & -0.4949 & -0.8685 \\ 0.0487 & -0.0323 & 0.0337 & -0.0348 & -0.0546 & -0.0430 & -0.5229 & -0.7306 & 0.4269 \\ -0.2633 & 0.1359 & -0.1272 & 0.6037 & -0.0486 & -0.3593 & -0.5502 & 0.2812 & -0.1354 \\ 0.8957 & -0.2425 & 0.1811 & 0.2536 & 0.0001 & -0.1310 & -0.0966 & 0.1061 & -0.0640 \\ -0.3547 & -0.7179 & 0.5391 & 0.2109 & 0.0374 & -0.0773 & 0.1172 & -0.0466 & 0.0217 \\ 0.0032 & 0.6231 & 0.6042 & 0.3162 & 0.0815 & -0.0955 & 0.3018 & -0.1747 & 0.0964 \\ 0.0149 & -0.1343 & -0.5424 & 0.5025 & 0.1374 & -0.1456 & 0.5171 & -0.3116 & 0.1748 \end{pmatrix}$$

## Пример. Проектор

Рассмотрим  $P_4 = P(2.5) - P(1)$ .

След  $\text{tr}P_4 = 0.999999999927145$

Сингулярное разложение  $P_4 = U\Sigma V^*$

Сингулярные числа:  $1.19, 0.3 \cdot 10^{-10}, 0.7 \cdot 10^{-12}, 0.4 \cdot 10^{-16}, 0, 0, \dots, 0$ .

$$U = \begin{pmatrix} -0.0023 & 0.0007 & -0.0196 & -0.0072 & 0.8963 & 0.2839 & -0.3352 & 0.0443 & 0.0361 \\ 0.0185 & -0.0050 & 0.1149 & -0.0021 & 0.0909 & -0.0871 & 0.0692 & -0.9396 & 0.2881 \\ -0.1111 & 0.0269 & -0.4406 & 0.0075 & -0.3835 & 0.3779 & -0.6809 & -0.1336 & 0.1464 \\ 0.4444 & -0.0787 & 0.7675 & 0.0039 & -0.1844 & 0.2058 & -0.3561 & 0.0516 & 0.0380 \\ -0.8887 & -0.0428 & 0.4413 & 0.0010 & -0.0447 & 0.0531 & -0.0906 & 0.0228 & 0.0066 \\ 0.0000 & 0.9956 & 0.0922 & 0.0001 & -0.0063 & 0.0077 & -0.0131 & 0.0039 & 0.0008 \\ 0.0000 & 0.0000 & 0.0000 & -0.9998 & -0.0092 & -0.0099 & -0.0114 & 0.0018 & 0.0012 \\ 0 & -0.0000 & -0.0000 & 0.0021 & 0.0103 & -0.1306 & -0.2206 & -0.2862 & -0.9232 \\ -0.0000 & -0.0000 & -0.0000 & 0.0137 & 0.0714 & -0.8406 & -0.4851 & 0.1108 & 0.2013 \end{pmatrix}$$

## Пример. Клеточно-диагональный вид матрицы

$$T = [U_1 : U_2 : \dots : U_8]$$

$$T^{-1}AT =$$

$$\begin{pmatrix} 0.3056 & 0.4902 & 0 & 0 & 0 & 0 & 0 & 0 & 0 \\ 0.0120 & 0.1444 & 0 & 0 & 0 & 0 & 0 & 0 & 0 \\ 0 & 0 & 0.3333 & 0 & 0 & 0 & 0 & 0 & 0 \\ 0 & 0 & 0 & 0.5 & 0 & 0 & 0 & 0 & 0 \\ 0 & 0 & 0 & 0 & 2 & 0 & 0 & 0 & 0 \\ 0 & 0 & 0 & 0 & 0 & 3 & 0 & 0 & 0 \\ 0 & 0 & 0 & 0 & 0 & 0 & 4 & 0 & 0 \\ 0 & 0 & 0 & 0 & 0 & 0 & 0 & 5 & 0 \\ 0 & 0 & 0 & 0 & 0 & 0 & 0 & 0 & 6 \end{pmatrix}$$